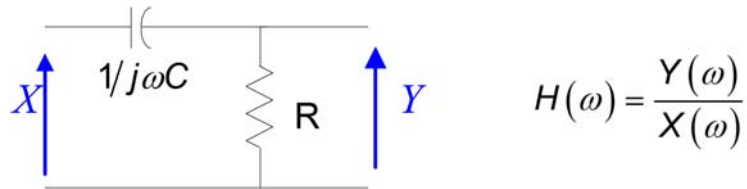


Jeudi le 12 décembre 2013; Durée: 8h30 à 10h20

Aucune documentation permise; aucune calculatrice permise

Problème 1 (30 points sur 100)



A. (5 points) Trouvez la réponse en fréquence, $H(\omega)$, du circuit ci-haut.

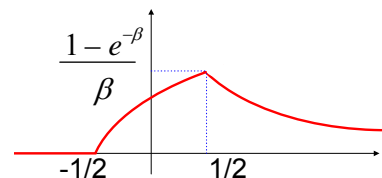
B. (10 points) Montrez que la réponse impulsionnelle du circuit est

$$h(t) = \delta(t) - \frac{1}{RC} e^{-t/RC} U(t)$$

C. (4 points) Est-ce que le filtre est passe-bas, passe-haut, ou passe-bande? Il faut justifier votre réponse en examinant $\lim_{\omega \rightarrow 0} |H(\omega)|$ et $\lim_{\omega \rightarrow \infty} |H(\omega)|$.

D. (5 points) Supposant que l'entrée est $x(t) = \text{Rect}(t)$. Étant donné que

$$\text{Rect}(t) * e^{-\beta t} U(t) = \begin{cases} 0 & \text{pour } t \leq -1/2 \\ \frac{1}{\beta} (1 - e^{-\beta(t+1/2)}) & \text{pour } -1/2 \leq t \leq 1/2 \\ \frac{2}{\beta} \text{sh}(\beta/2) e^{-\beta(t+1/2)} & \text{pour } t \geq 1/2 \end{cases}$$



tracez la sortie du filtre, $y(t)$.

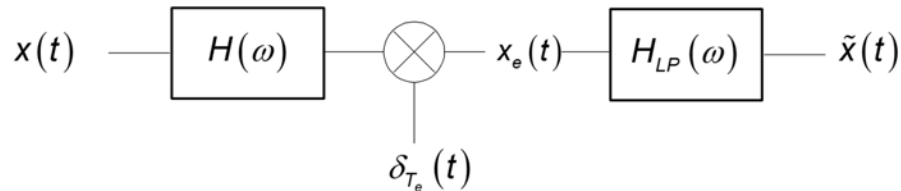
E. (6 points) Pour l'entrée $x(t) * \delta_T(t) = \text{Rect}(t) * \delta_T(t)$, la sortie est $y(t)$. Trois esquisses possible pour $y(t)$ sont :



Indiquez pour chaque esquisse de $y(t)$ si $1/RC \gg 1$, $1/RC \ll 1$ ou $1/RC \approx 1$, et justifiez votre choix.

Problème 2 (30 points sur 100)

Supposons que $x(t)$ est un signal limité en fréquence avec une fréquence maximale de ω_{\max} . Le signal $\tilde{x}(t)$ est la reconstruction du signal d'entrée $x(t)$ qui a été échantillonné aux multiples de T_e . Le filtre $H(\omega)$ est un filtre optionnel pour éviter le repliement spectral.



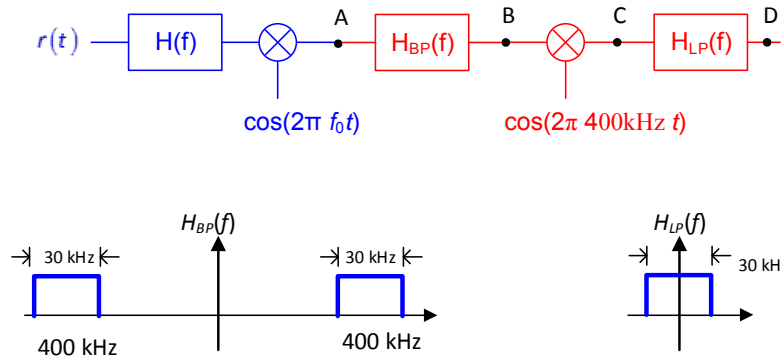
- A. (5 points) Quelle est le taux de Nyquist ω_{Nyq} et le période d'échantillonnage de Nyquist T_{Nyq} ?
- B. (5 points) Supposons que $T_e = 1.25 T_{Nyq}$. Spécifiez la réponse en fréquence $H(\omega)$ pour le filtre avant échantillonnage pour éviter le repliement spectral.
- C. (4 points) Supposons que le signal d'entrée a un spectre triangulaire avec $\omega_{\max} = 1$. Tracez le spectre $X_e(\omega)$ après échantillonnage et avant le filtrage passe-bas pour ces deux cas :
- Pas de filtre $H(\omega)$
 - Avec filtre $H(\omega)$ spécifié en partie B.
- D. (4 points) Supposons que le signal d'entrée a un spectre triangulaire avec $\omega_{\max} = 1$. Le filtre $H_{LP}(\omega)$ est un filtre passe-bas idéal avec fréquence de coupure $\omega_e = .8\omega_{\max}$. Tracez le spectre du signal reconstruit $\tilde{X}(\omega)$ pour ces deux cas :
- Pas de filtre $H(\omega)$
 - Avec filtre $H(\omega)$ spécifié en partie B.
- E. (10 points) Pour ce signal d'entrée avec un spectre triangulaire, trouvez l'erreur quadratique moyenne e pour les cas sans et avec filtre $H(\omega)$.

$$e = \int_{-\infty}^{+\infty} |x(t) - \tilde{x}(t)|^2 dt = \frac{1}{2\pi} \int_{-\infty}^{+\infty} |X(\omega) - \tilde{X}(\omega)|^2 d\omega$$

- F. (2 points) Est-ce que vous pouvez réduire l'erreur moyenne quadratique en proposant un autre filtre anti-repliement?

Problème 3 (30 points sur 100)

Les postes CHOI FM à 98.1 MHz et NRJ FM à 98.9 MHz ont chacun un spectre rectangulaire avec une largeur de bande de 30 kHz centrée sur leur fréquence allouée. La somme de ces deux signaux, $r(t)$, est reçue dans le récepteur superhétérodyne suivant :



- A. (5 points) Pour la réception du poste NRJ FM, quelle fréquence f_0 doit être utilisée?
- B. (8 points) Supposant qu'il n'a pas de filtre $H(f)$, tracez le spectre aux points A, B, C et D.
- C. (9 points) Proposez un filtre anti-image $H(f)$ pour aider la réception.
- D. (8 points) Supposant qu'on utilise le filtre $H(f)$ proposé, tracez le spectre aux points A, B, C et D.

Problème 4 (10 points sur 100)

Discutez les similarités et les différences dans ces deux stratégies de filtrage :

- a. L'utilisation d'un filtre anti-repliement du spectre dans un système d'échantillonnage
- b. L'utilisation d'un filtre anti-image dans un récepteur superhétérodyne.

Double Angle Formulas

$$\sin(2\theta) = 2\sin\theta \cos\theta$$

$$\cos(2\theta) = \cos^2\theta - \sin^2\theta$$

$$= 2\cos^2\theta - 1$$

$$= 1 - 2\sin^2\theta$$

Sum and Difference Formulas

$$\sin(\alpha \pm \beta) = \sin\alpha \cos\beta \pm \cos\alpha \sin\beta$$

$$\cos(\alpha \pm \beta) = \cos\alpha \cos\beta \mp \sin\alpha \sin\beta$$

Half Angle Formulas

$$\sin^2\theta = \frac{1}{2}(1 - \cos(2\theta))$$

$$\cos^2\theta = \frac{1}{2}(1 + \cos(2\theta))$$

Product to Sum Formulas

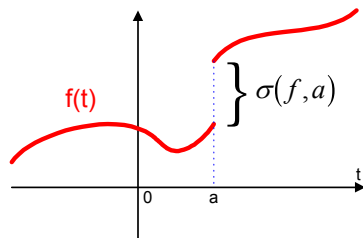
$$\sin\alpha \sin\beta = \frac{1}{2}[\cos(\alpha - \beta) - \cos(\alpha + \beta)]$$

$$\cos\alpha \cos\beta = \frac{1}{2}[\cos(\alpha - \beta) + \cos(\alpha + \beta)]$$

$$\sin\alpha \cos\beta = \frac{1}{2}[\sin(\alpha + \beta) + \sin(\alpha - \beta)]$$

Tables de Transformées et Propriétés Examen Final

Dérivée d'une fonction discontinue



$$(D_f)' = D_{f'} + \sigma(f, a) \delta_a$$

Manipulation sur la fonction delta

$$f(t) \delta(t) = f(0) \delta(t)$$

$$\text{et } f(t) \delta(t-a) = f(a) \delta(t-a)$$

$$f(t) * \delta(t) = f(t)$$

$$\text{et } f(t) * \delta(t-a) = f(t-a)$$

$$\sum_{n=-\infty}^{+\infty} e^{-jn\tau\omega} = \frac{2\pi}{\tau} \sum_{n=-\infty}^{+\infty} \delta\left(\omega - \frac{2\pi n}{\tau}\right)$$

Séries de Fourier

$$F_{\text{série}}(n) = \frac{1}{T_0} \int_{-T_0/2}^{T_0/2} f_p(t) e^{-jn\omega_0 t} dt \quad \text{et} \quad f_p(t) = \sum_{n=-\infty}^{+\infty} F_{\text{série}}(n) e^{jn\omega_0 t}$$

$$\text{Théorème de Parseval : } \frac{1}{T_0} \int_{-T_0/2}^{T_0/2} |f_p(t)|^2 dt = \sum_{n=-\infty}^{+\infty} |F_{\text{série}}(n)|^2$$

Calcul des coefficients de Fourier d'une fonction périodique

Soit $f_r(t)$ la restriction de la fonction $f_p(t)$ sur $[-T_0/2, T_0/2]$ et

$$f_r(t) \Leftrightarrow F_r(\omega). \quad \text{Nous aurons : } F_{\text{série}}(n) = \frac{F_r(n\omega_0)}{T_0}$$

Transformée de Fourier

$$F(\omega) = \int_{-\infty}^{\infty} f(t) e^{-j\omega t} dt \quad \text{et} \quad f(t) = \frac{1}{2\pi} \int_{-\infty}^{\infty} F(\omega) e^{j\omega t} d\omega$$

$$\text{Théorème de Parseval : } \int_{-\infty}^{+\infty} |f(t)|^2 dt = \frac{1}{2\pi} \int_{-\infty}^{+\infty} |F(\omega)|^2 d\omega$$

Produit de convolution

$$f(t) * g(t) = \int_{-\infty}^{\infty} f(u) g(t-u) du = \int_{-\infty}^{\infty} g(u) f(t-u) du$$

Tables de Transformées et Propriétés

Examen Final

Fonction	Transformée de Fourier	Fonction	Transformée de Fourier
$f(t)$	$F(\omega)$	$\delta(t)$	1
$F(t)$	$2\pi f(-\omega)$	1	$2\pi\delta(\omega)$
$f(t+a)$	$e^{ja\omega}F(\omega)$	$\delta_{T_0}(t) = \sum_{n=-\infty}^{+\infty} \delta(t-nT_0)$	$\omega_0 \sum_{n=-\infty}^{+\infty} \delta(\omega-n\omega_0)$
$f(at)$	$\frac{1}{ a }F\left(\frac{\omega}{a}\right)$	$U(t)$	$\frac{1}{j\omega} + \pi\delta(\omega)$
$e^{jbt}f(t)$	$F(\omega-b)$	$\text{Sgn}(t)$	$\frac{2}{j\omega}$
$t^n f(t)$	$(j)^n \frac{d^n}{d\omega^n} F(\omega)$	$\text{Rect}\left(\frac{t}{\tau}\right)^\dagger$	$\tau \text{Sa}\left(\frac{\omega\tau}{2}\right)$
$\frac{d^n}{dt^n} f(t)$	$(j\omega)^n F(\omega)$	$\text{Tri}\left(\frac{t}{\tau}\right)^\ddagger$	$\tau \text{Sa}^2\left(\frac{\omega\tau}{2}\right)$
$f(t) \times g(t)$	$\frac{1}{2\pi} F(\omega) * G(\omega)$	$e^{j\omega_0 t}$	$2\pi \delta(\omega - \omega_0)$
$f(t) * g(t)$	$F(\omega) \times G(\omega)$	$\cos(\omega_0 t)$	$\pi [\delta(\omega - \omega_0) + \delta(\omega + \omega_0)]$
$\sum_{n=-\infty}^{\infty} F_n e^{jn\omega_0 t}$	$2\pi \sum_{n=-\infty}^{\infty} F_n \delta(\omega - n\omega_0)$	$\sin(\omega_0 t)$	$\frac{\pi}{j} [\delta(\omega - \omega_0) - \delta(\omega + \omega_0)]$
$e^{-\beta t} U(t)$	$\frac{1}{\beta + j\omega}$	$\text{Sa}(tB)$	$\frac{\pi}{B} \text{Rect}\left(\frac{\omega}{2B}\right)$
$e^{-\beta t }$	$\frac{2\beta}{\beta^2 + \omega^2}$	$\text{Sa}^2(tB)$	$\frac{\pi}{2B^2} \text{Tri}\left(\frac{\omega}{2B}\right)$

$^\dagger \text{Rect}\left(\frac{t-t_0}{\tau}\right)$ est un rectangle de hauteur un, centré sur $t=t_0$, et de longueur τ .

$^\ddagger \text{Tri}\left(\frac{t-t_0}{\tau}\right)$ est un triangle de hauteur 1 centré sur $t=t_0$, avec une base de longueur 2τ .